

2025/3/10

第29回 NEXT（数値トカマク）研究会

おうばくプラザ

スラブイオン温度勾配駆動乱流における エントロピーバランス

京都大学工学部 物理工学科 エネルギー応用工学コース

第2区分プラズマ・核融合基礎学研究室（石澤研）

4年 二木裕也

- 研究背景・目的
- 研究手法
- 結果・考察
- まとめ

研究背景・目的

1

乱流輸送

プラズマの乱流によって、粒子、運動量、エネルギーが拡散される現象。
核融合炉での磁場閉じ込め性能を低下させることが知られている。

ゾーナル流

乱流において自己形成される剪断流。乱流を安定化させることが知られている。

乱流の発達と抑制の過程（一例）

温度勾配



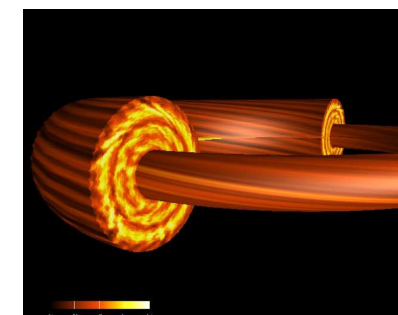
乱流の発達

ゾーナル流の発達

乱流の抑制

イオン温度勾配（Ion Temperature Gradient; ITG）不安定性

黄色の縞状の流れが
ゾーナル流



*1

*1 A. ISHIZAWA et al. "Electromagnetic gyrokinetic simulation of turbulence in torus plasmas" (2015)

目的

先行研究ではトロイダル配位（ドーナツ型の配位）における流れ構造の解析が行われている．本研究では，異なる配位として代表的な，スラブ配位（磁場が z 成分のみをもつ配位）を対象とし，イオン温度勾配をもつケースについて以下の解析を行う．

- ・ 流れ構造形成の要因の特定
- ・ それらが作用するモード数の特定
- ・ 磁気シアの変化に対する系の変化の解析

揺動エントロピー

分布関数 $f(t, x, y, v_{\parallel})$ を 平衡部 $f_0(x, v_{\parallel})$ と 揺動部 $\delta f(t, x, y, v_{\parallel})$ に分け、揺動エントロピー（密度）を以下のように定義する.

$$\delta s \equiv \frac{(\delta f)^2}{2f_0}$$

$$f_s(t, x, y, v_{\parallel}) = f_{s0}(x, v_{\parallel}) + \delta f_s(t, x, y, v_{\parallel})$$

$$\delta s = 0 \iff \delta f_s(t, x, y, v_{\parallel}) = 0 \iff f_s(t, x, y, v_{\parallel}) = f_{s0}(x, v_{\parallel})$$

であるから, δs は 系の平衡状態からのキヨリを表す

f_{s0} はマクスウェル分布に従うと仮定

$$f_{s0} = \frac{n(x)}{\sqrt{2\pi T(x)}} \exp\left(-\frac{v_{\parallel}^2}{2T(x)}\right)$$

よって, 熱力学的エントロピー・統計力学的エントロピーと同様,

エントロピー変化 $\frac{d(\delta s)}{dt}$ を調べることで 平衡状態（マクスウェル分布）からのずれを評価できる.

エントロピーバランス式

Vlasov方程式
$$\frac{\partial f_i}{\partial t} - \frac{\partial \langle \phi \rangle_\alpha}{\partial y} \frac{\partial f_i}{\partial x} + \frac{\partial \langle \phi \rangle_\alpha}{\partial x} \frac{\partial f_i}{\partial y} + \frac{x}{L_s} v_\parallel \frac{\partial f_i}{\partial y} - \frac{x}{L_s} \frac{\partial \langle \phi \rangle_\alpha}{\partial y} \frac{\partial f_i}{\partial v_\parallel} = 0$$

$$\times \frac{\delta f_i}{f_{i0}}$$

$$\frac{\partial(\delta s)}{\partial t} = \underbrace{\left\{ \frac{\delta f_{i0}}{f_{i0}} + \frac{1}{2} \left(\frac{\delta f_{i0}}{f_{i0}} \right)^2 \right\} \frac{\partial \langle \phi \rangle_\alpha}{\partial y} \frac{\partial f_{i0}}{\partial x}}_{\equiv F_1} + \underbrace{\frac{1}{2} \left\{ \frac{\partial}{\partial x} \left(\frac{\partial \langle \phi \rangle_\alpha}{\partial y} \frac{\delta f_{i0}^2}{f_{i0}} \right) - \frac{\partial}{\partial y} \left(\frac{\partial \langle \phi \rangle_\alpha}{\partial x} \frac{\delta f_{i0}^2}{f_{i0}} \right) \right\}}_{\equiv F_2} - \underbrace{\frac{\delta f_{i0}}{f_{i0}} \frac{x}{L_s} \left(v_\parallel \frac{\partial \delta f_i}{\partial y} - \frac{\partial \langle \phi \rangle_\alpha}{\partial y} \frac{\partial f_i}{\partial v_\parallel} \right)}_{\equiv F_3}$$

F_1 $f_{i0} = \frac{n(x)}{\sqrt{2\pi T(x)}} \exp\left(-\frac{v_\parallel^2}{2T(x)}\right)$ を仮定すると, $\frac{\partial f_{i0}}{\partial x} \propto \frac{\partial T(x)}{\partial x} \rightarrow$ 温度勾配の影響を示す

F_2 周期条件下の積分時には無視できる

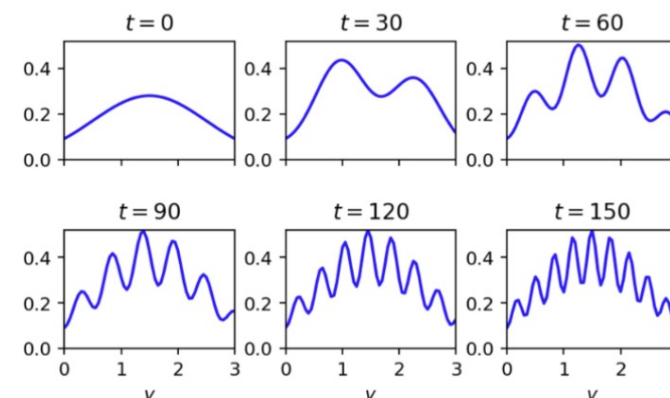
F_3 磁気シア L_s に関する項

衝突項

v は時間の経過とともに右図のようなギザギザした構造を持つ

→ 正確な追跡には解像度の高いシミュレーションが必要

衝突項を導入することで分布関数を滑らかにする必要がある



$$C \equiv \beta \left\{ \frac{\partial(v_{\parallel} \delta f_i)}{\partial v_{\parallel}} + \frac{\partial^2 \delta f_i}{\partial v_{\parallel}^2} \right\} \quad (\text{第1項: 摩擦項} \quad \text{第2項: 拡散項})$$

Vlasov方程式 $\frac{\partial f_i}{\partial t} - \frac{\partial \langle \phi \rangle_{\alpha}}{\partial y} \frac{\partial f_i}{\partial x} + \frac{\partial \langle \phi \rangle_{\alpha}}{\partial x} \frac{\partial f_i}{\partial y} + \frac{x}{L_s} v_{\parallel} \frac{\partial f_i}{\partial y} - \frac{x}{L_s} \frac{\partial \langle \phi \rangle_{\alpha}}{\partial y} \frac{\partial f_i}{\partial v_{\parallel}} = \textcolor{red}{C}$

エントロピーバランス式 $\frac{\partial(\delta s)}{\partial t} = F_1 + F_2 + F_3 + \textcolor{red}{D} \quad \left(D \equiv \frac{\delta f_i}{f_{i0}} C \right)$

粒子間の衝突を考慮して
分布関数をマクスウェル分布に
引き戻す働きをする

*2 武藤幹弥 修士論文 『非平衡解放系プラズマ乱流におけるエントロピーダイナミクスに関する研究』 修士論文 (2020)

磁気シア

本研究で使用するスラブ配位磁場（規格化） $\mathbf{B} = \begin{pmatrix} B_x \\ B_y \\ B_z \end{pmatrix} = \begin{pmatrix} 0 \\ x/L_s \\ 1 \end{pmatrix}$

磁気シア長 L_s を変化させると、剪断方向の磁場成分 B_y が変化する



L_s を変化させると系の構造は大きく変化する

シミュレーション

① GKNETを用いて

分布揺動 δf
静電ポテンシャル $\langle \phi \rangle_\alpha$

を時間発展させる.

Gyrokinetic Vlasov equation

$$\begin{aligned} \frac{\partial f_i}{\partial t} - \frac{\partial \langle \phi \rangle_\alpha}{\partial y} \frac{\partial f_i}{\partial x} + \frac{\partial \langle \phi \rangle_\alpha}{\partial x} \frac{\partial f_i}{\partial y} + \frac{x}{L_s} v_{\parallel} \frac{\partial f_i}{\partial y} - \frac{x}{L_s} \frac{\partial \langle \phi \rangle_\alpha}{\partial y} \frac{\partial f_i}{\partial v_{\parallel}} &= 0 \\ \frac{\partial f_e}{\partial t} - \frac{\partial \langle \phi \rangle_\alpha}{\partial y} \frac{\partial f_e}{\partial x} + \frac{\partial \langle \phi \rangle_\alpha}{\partial x} \frac{\partial f_e}{\partial y} + \sqrt{\frac{m_i}{m_e}} \frac{x}{L_s} v_{\parallel} \frac{\partial f_e}{\partial y} + \sqrt{\frac{m_i}{m_e}} \frac{x}{L_s} \frac{\partial \langle \phi \rangle_\alpha}{\partial y} \frac{\partial f_e}{\partial v_{\parallel}} &= 0 \\ \frac{\partial f_f}{\partial t} - \frac{\partial \langle \phi \rangle_\alpha}{\partial y} \frac{\partial f_f}{\partial x} + \frac{\partial \langle \phi \rangle_\alpha}{\partial x} \frac{\partial f_f}{\partial y} + \sqrt{\frac{T_{f0}}{T_{i0}}} \frac{x}{L_s} v_{\parallel} \frac{\partial f_f}{\partial y} - \sqrt{\frac{T_{f0}}{T_{i0}}} \frac{x}{L_s} \frac{\partial \langle \phi \rangle_\alpha}{\partial y} \frac{\partial f_f}{\partial v_{\parallel}} &= 0 \end{aligned}$$

Simulation parameters

$$\begin{aligned} L_{\perp} T_i &= 40 & L_x &= 20 \\ \frac{m_i}{m_e} &= 100 & L_y &= 20\pi \\ L_{\perp} t &= 40000 & L_v &= 10 \\ N_{\perp} t &= 40000 & N_x &= 128 \\ & & N_y &= 128 \\ & & N_v &= 128 \end{aligned}$$

Normalized gyrokinetic quasi-neutrality condition

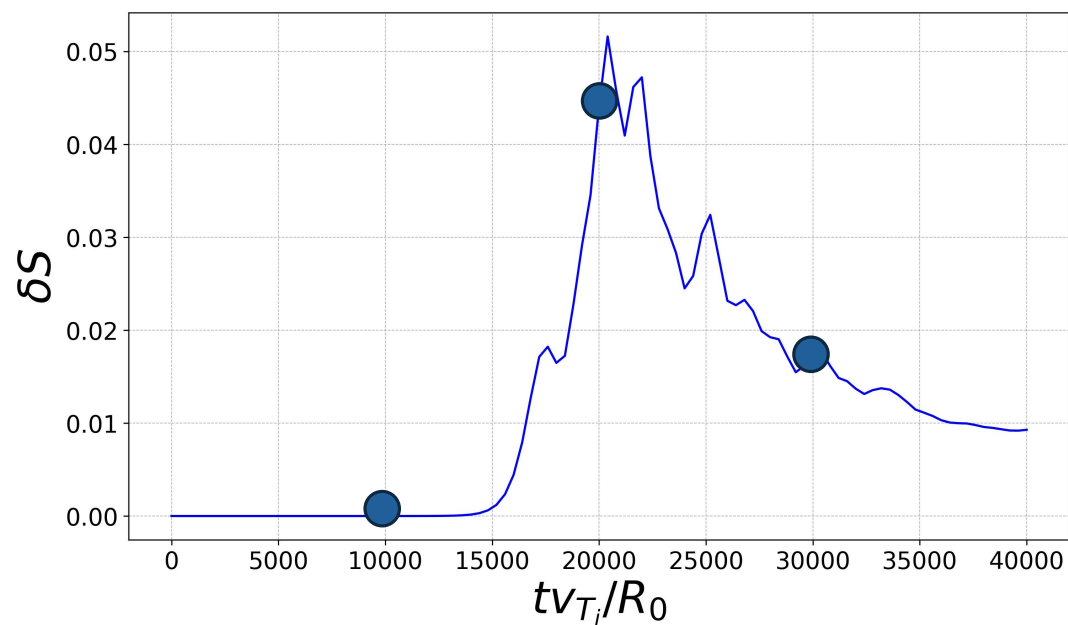
$$\begin{aligned} \int_{-\infty}^{\infty} \delta \hat{f}_i dv_{\parallel} \exp\left(-\frac{k_{\perp}^2}{2}\right) - [1 - \Gamma_0(k_{\perp}^2)] \hat{\phi}(k_x, k_y) + \int_{-\infty}^{\infty} \delta \hat{f}_f dv_{\parallel} \exp\left(-\frac{k_{\perp}^2}{2} \cdot \frac{T_{f0}}{T_{i0}}\right) - \left[1 - \Gamma_0\left(k_{\perp}^2 \frac{T_{f0}}{T_{i0}}\right)\right] \hat{\phi}(k_x, k_y) &= \int_{-\infty}^{\infty} \delta \hat{f}_e(k_x, k_y, v_{\parallel}) dv_{\parallel} \\ \langle \phi \rangle_i = \sum_{k_x, k_y} \hat{\phi}(k_x, k_y) \exp(i \mathbf{k}_{\perp} \cdot \mathbf{x}) \exp\left(-\frac{k_{\perp}^2}{2}\right), \langle \phi \rangle_e = \sum_{k_x, k_y} \hat{\phi}(k_x, k_y) \exp(i \mathbf{k}_{\perp} \cdot \mathbf{x}), \langle \phi \rangle_f = \sum_{k_x, k_y} \hat{\phi}(k_x, k_y) \exp(i \mathbf{k}_{\perp} \cdot \mathbf{x}) \exp\left(-\frac{k_{\perp}^2}{2} \cdot \frac{T_{f0}}{T_{i0}}\right) \end{aligned}$$

② ①で求めた値を用いて、揺動エントロピー δs に関する量を解析する.

$$\frac{\partial(\delta s)}{\partial t} = F_1 + F_2 + F_3 + D$$

δS の時間発展

$$\delta S \equiv \iiint \delta s \, dx dy dv_{\parallel} = \iiint \frac{(\delta f)^2}{2f_0} \, dx dy dv_{\parallel}$$



系の構造変化は大きく
3つのフェイズに分かれた

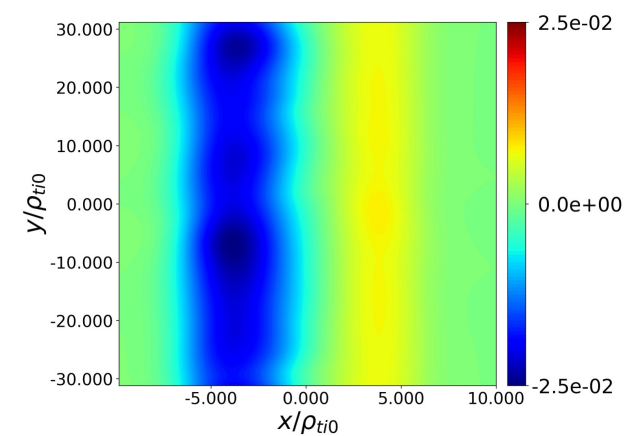
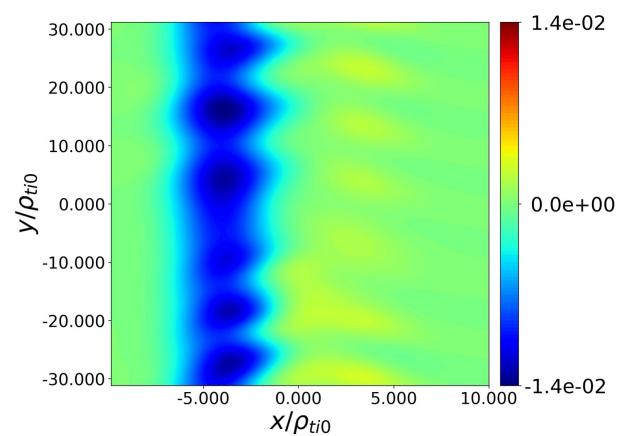
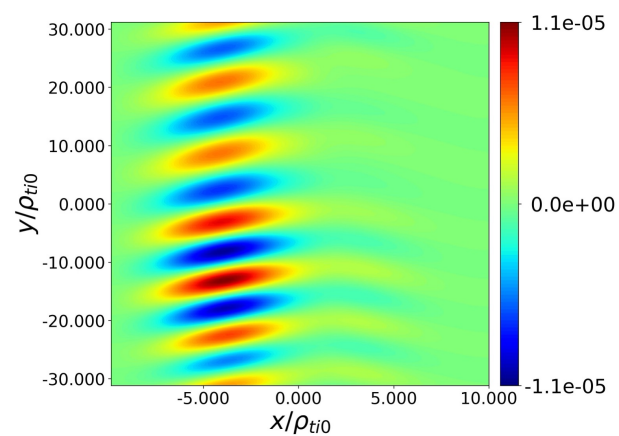
左図の3点について、各量の変化を調べた

- ①初期状態
- ②流れ構造の成長後
- ③飽和過程

静電ポテンシャルの時間発展

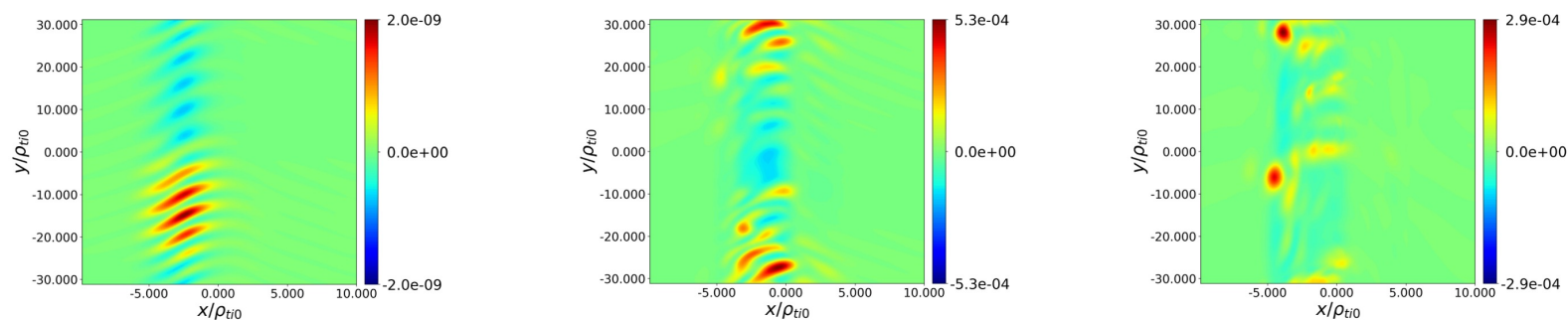
温度勾配による
ITG不安定性

ゾーナル流の
成長



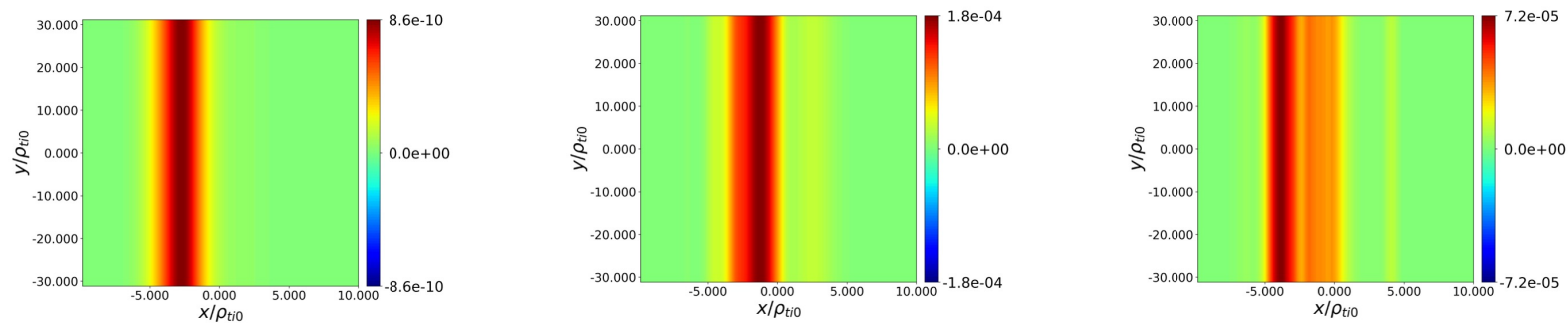
揺動エントロピーの乱流成分とゾーナル成分

(上：乱流 下：ゾーナル流)



ITG不安定性
による乱流の駆動

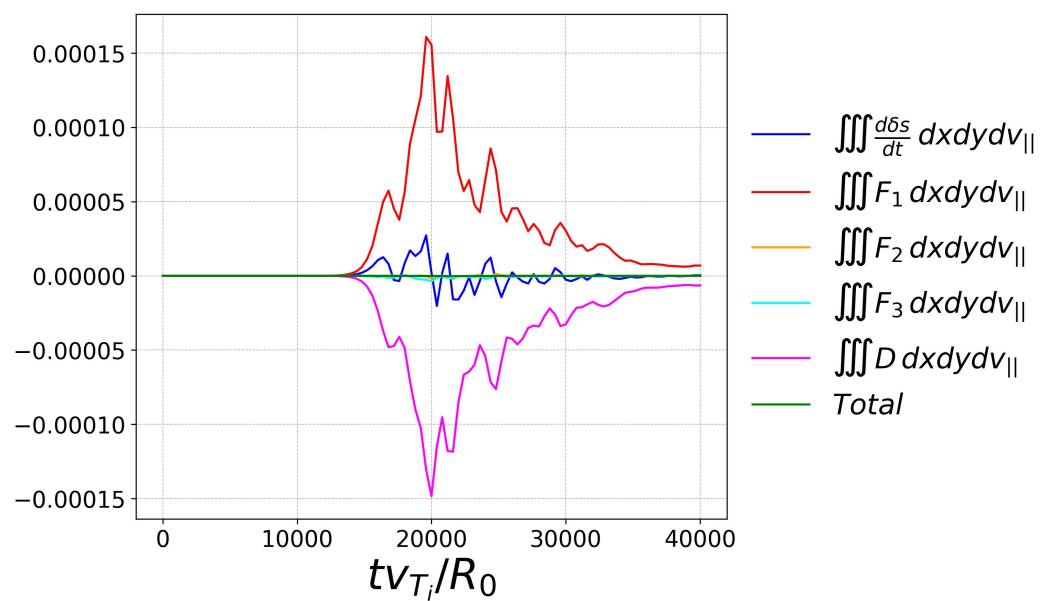
ゾーナル流による
乱流の抑制



エントロピーバランス（空間全体）

$$\iiint \frac{\partial(\delta s)}{\partial t} dx dy dv_{\parallel} = \iiint F_1 dx dy dv_{\parallel} + \iiint F_2 dx dy dv_{\parallel} + \iiint F_3 dx dy dv_{\parallel} + \iiint D dx dy dv_{\parallel}$$

（ t 依存性のみを残した形）



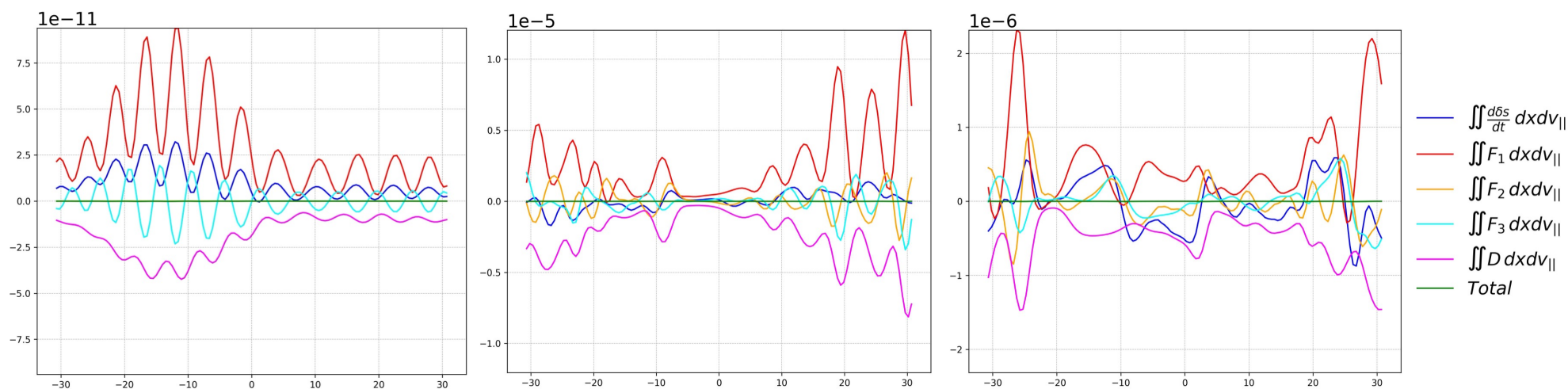
バランス式の妥当性を
確認

結果

12

エントロピーバランス (y方向 実空間)

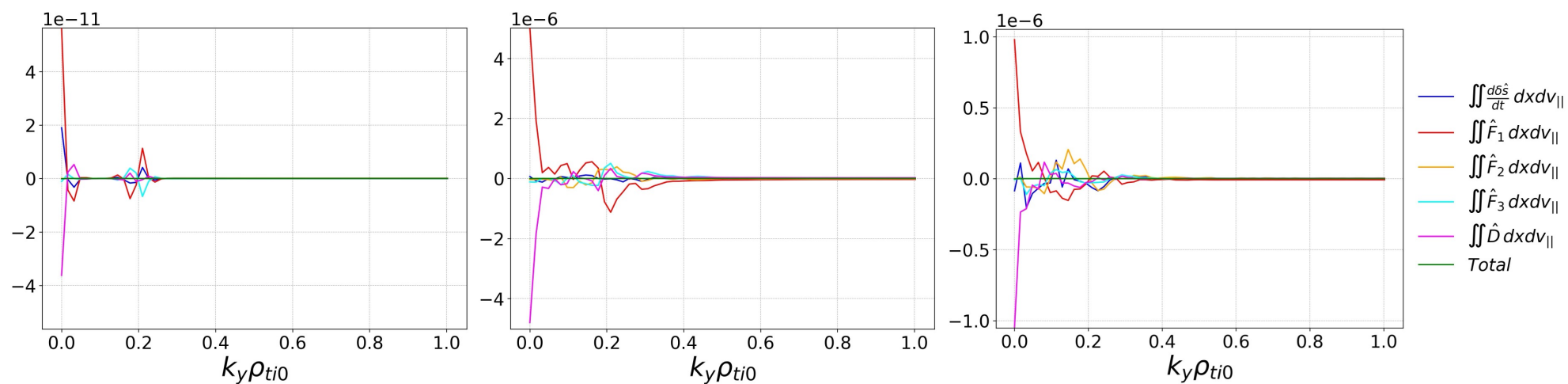
$$\iint \frac{\partial(\delta s)}{\partial t} dx dv_{\parallel} = \iint F_1 dx dv_{\parallel} + \iint F_2 dx dv_{\parallel} + \iint F_3 dx dv_{\parallel} + \iint D dx dv_{\parallel} \quad (t, y \text{ 依存性を残した形})$$



- F_1 (初期の温度勾配による寄与を表す項) は δs を増加させる
- D (衝突項) は δs を減少させる
- F_2 の寄与は乱流の発達とともに増加

エントロピーバランス (y方向 波数空間)

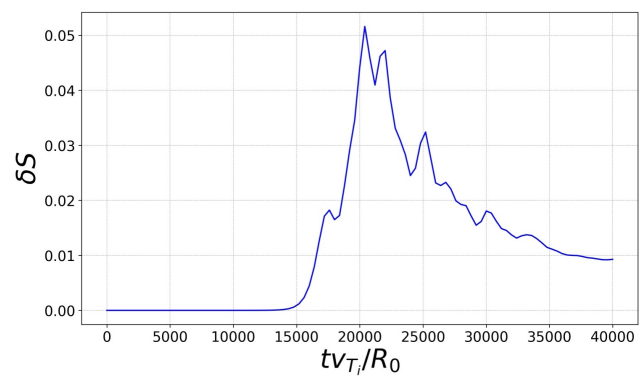
$$\iint \frac{\partial(\delta\mathcal{E})}{\partial t} dx dv_{\parallel} = \iint \widehat{F}_1 dx dv_{\parallel} + \iint \widehat{F}_2 dx dv_{\parallel} + \iint \widehat{F}_3 dx dv_{\parallel} + \iint \widehat{D} dx dv_{\parallel} \quad (t, k \text{ 依存性を残した形})$$



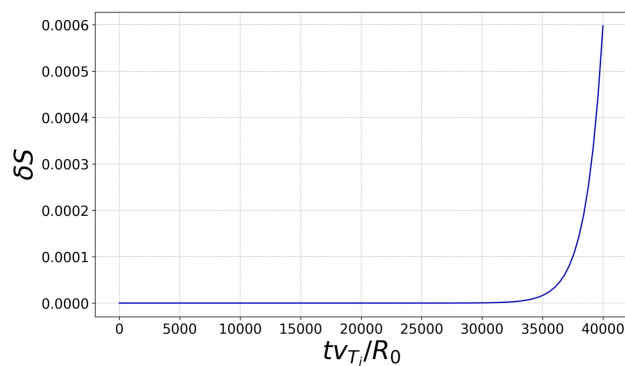
- 初期状態においては $k_y \rho_{ti0} = 0.2$ 付近に振幅スペクトルのピークを確認
- 以降については正確なピークが確認できなかった

磁気シア長を変化させたケース（揺動エントロピー）

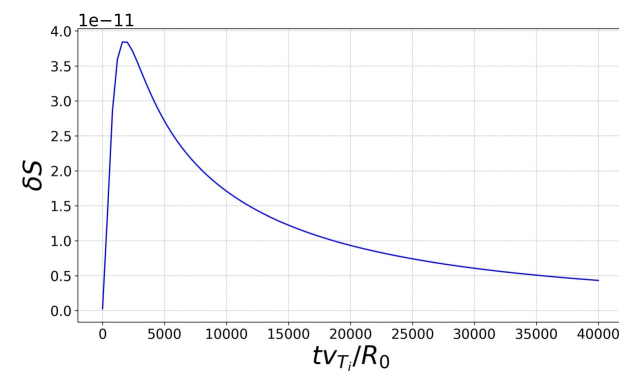
$$L_S = 1.0 \times 10^3$$



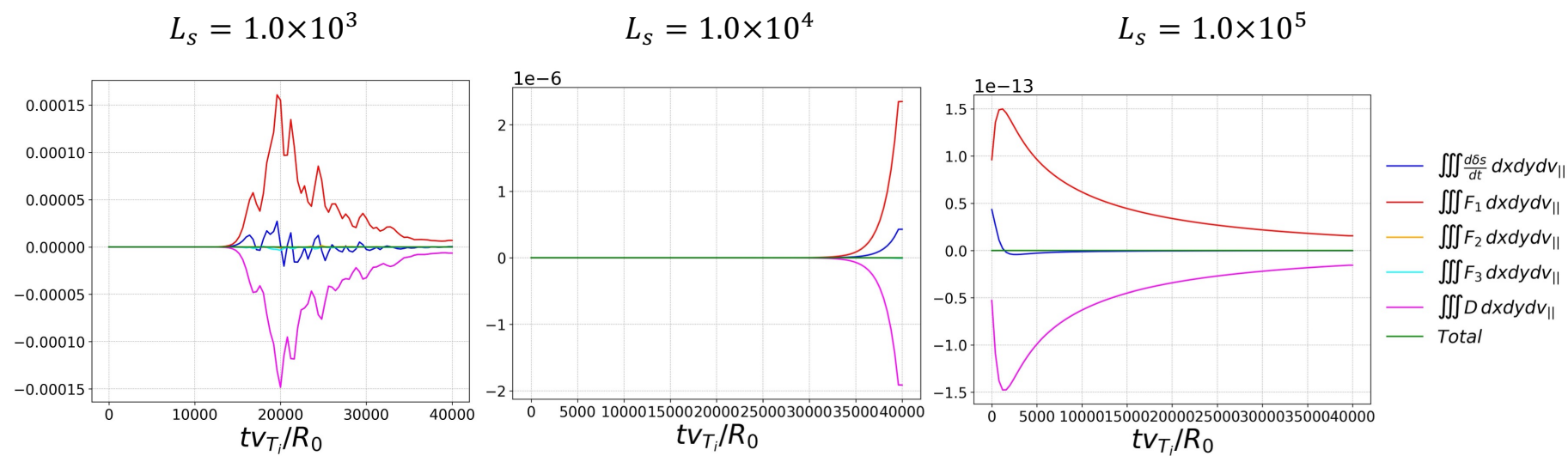
$$L_S = 1.0 \times 10^4$$



$$L_S = 1.0 \times 10^5$$



磁気シア長を変化させたケース（エントロピーバランス）



- スラブ配位におけるエントロピーバランス式を導出し, 各項の時間発展を解析した
- 磁気シア長 L_s の値を変化させると系の構造が大きく変化することを確認した

今後の課題

乱流・ゾーナル流の磁気シア依存性についての解析を進める